

ПОРОЖДЕНИЕ ПРОГНОЗИРУЮЩЕГО ФИЛЬТРА  
НА ПРОГРАММНОЙ МОДЕЛИ ЦВМ

И.И. Дзегеленок, А.Г. Шигин

Рассматривается задача восстановления прогнозирующего фильтра ( $\Pi\Phi$ ) в процессе исследования структур ЦВМ методами программного моделирования. Построение  $\Pi\Phi$  производится активным автоматом (А-автоматом) с недетерминированной структурой. Показана принципиальная возможность сокращения общего объема экспериментов, необходимого для построения  $\Pi\Phi$  А-автоматом.

Под программной моделью ЦВМ будем понимать некоторый алгоритм, адекватно отображающий процесс функционирования изучаемой ЦВМ во времени (в смысле [1]). Под прогнозирующим фильтром ( $\Pi\Phi$ ) будем понимать математическую модель, с помощью которой отображается механизм изучаемого явления на аналитическом языке: степень влияния каждого параметра и их взаимосвязей.

Современные проблемно-ориентированные языки и системы программного моделирования ЦВМ с помощью ЦВМ (см., например [2], [3]) позволяют получать численные значения оценок по интересующим исследователя критериям – вычисление значений целевой функции ( $\mathcal{Z}\Phi$ ). Как правило, результаты вычислений значений  $\mathcal{Z}\Phi$  представляются в форме таблиц или графиков. Такое представление информации не является достаточным для дальнейшего использования представленных результатов с целью решения задач интерполяции и экстраполяции (прогнозирования) новых структурных решений ЦВМ.

Рассматривается системный подход, позволяющий строить  $\Pi\Phi$  в процессе "программирования" возможных вариантов ЦВМ на программных моделях. Использование  $\Pi\Phi$  позволяет производить син-

ку каждого из элементов  $X_\lambda$  ( $\lambda$  – индекс элемента множества) множества возможных структурных решений ЦВМ ( $X_\lambda \in L$ ), не прибегая к использованию программных моделей. Каждый из элементов множества  $X_\lambda \in L$  должен удовлетворять условию принадлежности исходному пространству  $R^n$  независимых переменных ( $L \subseteq R^n$ ).

Пространство  $R^n$  есть дискретная среда и все элементы множества  $X_\lambda \in L$  есть булевские векторы.

Отправным пунктом решения настоящей задачи служит гипотеза о наличии наиболее информативных элементов в дискретной среде ( $R^n$ ). Описываемая стратегия построения  $\Pi\Phi$  позволяет сократить общее число экспериментов ( $X_\lambda$ ) на заданном множестве  $X_\lambda \in L$  с точки зрения исследуемой  $\mathcal{Z}\Phi$ .

### I. Постановка задачи и система исходных предположений

Учитывая, что в самом общем случае какая-либо априорная информация в виде статистических критериев, законов распределения и оценок конструкций  $\mathcal{Z}\Phi$  отсутствует, задачу будем трактовать в детерминистической постановке. Для этого введем допущение о существовании некоторого критического значения  $\mathcal{Z}\Phi \bar{Z}_{kp}$  ( $\bar{Z}$ ) на области ее определения. Будем полагать также, что множество элементов множества  $X_\lambda \in L$  совпадает с областью определения  $\mathcal{Z}\Phi \bar{Z}(X)$  в пространстве  $R^n$ . Каждый из элементов множества  $X_\lambda \in L$  состоит из  $n$  компонент таких, что:  $X_\lambda = (\alpha_{\lambda 1}, \alpha_{\lambda 2}, \dots, \alpha_{\lambda n}), r = \overline{1, n}$  и  $\alpha_{\lambda r} \in \{0, 1\}$ . Тогда можно ввести некий двухзначный функционал  $I[\bar{Z}(X_\lambda) - Z_{kp}(X_\lambda)]$  такой, что:

$$I\{\bar{Z}(X_\lambda) - Z_{kp}(X_\lambda)\} = \begin{cases} 1, & \text{если } \bar{Z}(X_\lambda) \geq Z_{kp}(X_\lambda), \\ 0, & \text{если } \bar{Z}(X_\lambda) < Z_{kp}(X_\lambda). \end{cases} \quad (1)$$

Обозначим относительное значение  $\mathcal{Z}\Phi$  как  $Z'(X_\lambda)$ :

$$\bar{Z}(X_\lambda) - Z_{kp}(X_\lambda) = Z'(X_\lambda). \quad (2)$$

Согласно условию (1) переключения функционала, множество  $X_\lambda \in L$  разбивается на два непересекающихся подмножества, которые мы обозначим  $T$  и  $F$ . Элементами подмножества  $T$  являются такие векторы  $X_\lambda \in T$ , для которых  $I\{Z'(X_\lambda)\} = 1$ . Назовем векторы  $X_\lambda \in T$  "удовлетворительными реализациями" и обозначим их символом  $t_i$  ( $i = \overline{1, p}$ ). Элементами подмножества  $F$  являются такие векторы  $X_\lambda \in F$ , для которых  $I\{Z'(X_\lambda)\} = 0$ . Назовем векторы  $X_\lambda \in F$  "неудовлетворительными реализациями" и будем их обозначать символом  $f_j$  ( $j = \overline{1, q}$ ). Закон разбиения (сегментации) множества  $L$

выразим формально:

$$x_\lambda = \begin{cases} t_i \in T, & \text{если } I\{Z'_i(X_\lambda)\} = 1, \\ f_j \in F, & \text{если } I\{Z'_i(X_\lambda)\} = 0. \end{cases} \quad (3)$$

Задача о нахождении ПФ заключается в том, чтобы построить такую математическую модель  $Z_2(X_\lambda)$ , которая бы "копировала" ЦФ  $Z'_i(X_\lambda)$  на области ее определения. Строго говоря, необходимо построить отображение множества значений функции  $Z'_i(X_\lambda)$  на множество значений функции  $Z_2(X_\lambda)$ . Тогда немедленно вытекают два предельных случая при решении этой задачи.

#### 1°. Два предельных случая решения задачи построения ПФ.

##### Случай А - задача сегментации.

$$I\{Z_2(X_\lambda)\} = I\{Z'_i(X_\lambda)\}, \quad (4)$$

для всех  $X_\lambda \in L$ .

##### Случай Б - задача идентификации.

$$Z_2(X_\lambda) = Z_2(X_\omega) \iff Z'_i(X_\lambda) = Z'_i(X_\omega), \quad (5)$$

где операция " $\equiv$ " представляет собой формальное выражение факта частичного упорядочивания как на множестве значений ЦФ  $Z_2(X)$ , так и на множестве значений ЦФ  $Z'_i(X)$  по одному и тому же закону ( $>$ ,  $=$ ,  $<$ ) для всех  $X_\lambda \in L$  и  $X_\omega \in L$ ; " $\iff$ " есть символ взаимно однозначного соответствия правой и левой частей выражения (5). В общем случае операция " $\circ$ " транзитивна, но не коммутативна. В свою очередь, из (5) следуют два экстремальных условия:

$$\max_{\lambda} Z_2(X_\lambda) = Z_2(t^*) \iff \max_{\lambda} Z'_i(X_\lambda) = Z'_i(t^*), \quad (6)$$

$$\min_{\lambda} Z_2(X_\lambda) = Z_2(f^*) \iff \min_{\lambda} Z'_i(X_\lambda) = Z'_i(f^*). \quad (7)$$

Задача сегментации сформулирована как классическая в терминах теории распознавания образов [4].

Задача идентификации сформулирована в виде необходимых и достаточных условий порождения ПФ.

Как задача А, так и задача Б являются предельными и в реальных условиях могут быть разрешены с некоторым приближением.

#### 2°. Частный случай предельной задачи

В реальных условиях мы обычно имеем дело лишь с частично определенным множеством  $L$ , состоящим из частично определенных подмножеств  $t_i \in T$  ( $i = \overline{1, p}$ ) и  $f_j \in F$  ( $j = \overline{1, q}$ ), где  $t_i = (t_i, \dots,$

$t_{i2}, \dots, t_{in}, \dots, t_{in})$  и  $f_j = (f_{j1}, f_{j2}, \dots, f_{jr}, \dots, f_{jn})$ . Иначе говорят,  $p + q < 2^n$ . Тогда задачу сегментации среди по необходимости условию вычисления ПФ можно представить дуально:

$$\begin{cases} I\{Z_2(t_i)\} = I\{Z'(t_i)\}, & \text{для } t_i \in T, \\ I\{Z_2(f_j)\} = I\{Z'(f_j)\}, & \text{для } f_j \in F. \end{cases} \quad (8)$$

Для определенности зададим функционал:  $I Z = \text{sign } Z$ . В простейшем случае конструкция ЦФ  $Z_2(X)$  может быть представлена уравнением гиперплоскости:

$$Z_2(X) = \sum_n \xi_n \cdot x_n - \gamma, \quad (9)$$

где  $\langle \xi_1, \xi_2, \dots, \xi_n, \dots, \xi_n, \gamma \rangle$  суть коэффициенты ЦФ ( $n = \overline{1, n}$ ).

Цель решения задачи идентификации (в узком смысле) будет состоять в отыскании оптимальных векторов  $t^* \in T$  и  $f^* \in F$ , таких, что

$$\begin{cases} \max_{\lambda} Z_2(t_i) = Z_2(t^*), \\ \min_{\lambda} Z_2(f_j) = Z_2(f^*). \end{cases} \quad (10)$$

Мы пришли к требованию: задано условие разбиения множества  $L$  на подмножества  $T$  и  $F$ , необходимо построить такой ПФ, чтобы решить не только задачу сегментации А, но и задачу идентификации Б. Успех решения задачи Б во многом зависит и определяется разрешимостью задачи А. Целесообразно вывести критерий разрешимости задачи сегментации.

#### 3°. Критерий разрешимости задачи сегментации

Исходя из (4), нетрудно предложить простой критерий:

$$\Psi = \sum_{\lambda} |\text{sign } Z'_i(X_\lambda) - \text{sign } Z_2(X_\lambda)|. \quad (11)$$

Решение предельной задачи сегментации состоит в нахождении такой конструкции ЦФ  $Z_2(X_\lambda)$ , что  $\min \Psi = 0$ . Для  $t_i \in T$  и  $f_j \in F$   $\Psi$  - критерий можно развернуть:

$$\Psi = \sum_i [\text{sign } Z'_i(t_i) - \text{sign } Z_2(t_i)] + \sum_j [\text{sign } Z'_i(f_j) - \text{sign } Z_2(f_j)]. \quad (12)$$

Принимая во внимание, что  $\text{sign } Z'_i(t_i) = 1$  и  $\text{sign } Z'_i(f_j) = 0$  по (3), с учетом (9), получим удобный для вычисления критерий:

$$\Psi = \sum_i [1 - \text{sign}(\sum_n \xi_n \cdot t_{in} - \gamma)] + \sum_j \text{sign}(\sum_n \xi_n \cdot f_{jn} - \gamma). \quad (13)$$

Задача состоит в том, чтобы найти такое нетривиальное решение  $\langle \xi_1, \xi_2, \dots, \xi_n, \dots, \xi_n, \gamma \rangle$ , которое обрагит функционал  $\Psi$  в  $\min \Psi$ . В случае, если подмножества  $T$  и  $F$  линейно разделимы,  $\min \Psi = 0$  [4]. Если же  $\min \Psi > 0$ , то возможно расширение по-

ставленной задачи. Отобразим  $n$ -мерное пространство  $R^n$  в  $m$ -мерное пространство  $R^m$ . Пространство  $R^m$  имеет координаты:  $y_1, y_2, \dots, y_{\ell}, \dots, y_m$  ( $\ell = \bar{1}, m$ ). Введем изоморфное соответствие: каждому вектору  $X_{\lambda} = (x_{\lambda 1}, x_{\lambda 2}, \dots, x_{\lambda \ell}, \dots, x_{\lambda m})$  в пространстве  $R^n$  однозначно соответствует вектор  $X_{\lambda}^* = (y_{\lambda 1}, y_{\lambda 2}, \dots, y_{\lambda \ell}, \dots, y_{\lambda m})$  в пространстве  $R^m$ , причем  $y_{\lambda \ell} \in \{0, 1\}$ . Этот факт символически обозначим:  $X_{\lambda} \rightarrow X_{\lambda}^*$ . Очевидно, что индекс  $\lambda$  при этом не изменяется. В пространстве  $R^m$  выражения (9) и (12) можно привести к общему виду:

$$Z_2(X^*) = \sum_{\ell} \Psi_{\ell} \cdot y_{\ell} - H, \quad (14)$$

$$\Phi^* = \sum_{\ell} [1 - \text{sign}(\sum_{\ell} \Psi_{\ell} \cdot t_{\ell}^* - H)] + \sum_j \text{sign}(\sum_{\ell} \Psi_{\ell} \cdot f_{j\ell}^* - H), \quad (15)$$

где  $\langle \Psi_1, \Psi_2, \dots, \Psi_{\ell}, \dots, \Psi_m, H \rangle$  суть коэффициенты ЦФ  $Z_2(X^*)$ , и согласно символике  $X_{\lambda} \rightarrow X_{\lambda}^*$  имеем  $t_{\ell} \rightarrow t_{\ell}^*, f_j \rightarrow f_j^*$ . Выражения (4), (5), (8), (10) приводятся к общему виду аналогично, путем присваивания символа "\*" для ЦФ  $Z_{\ell}(X)$  по принципу:  $X \rightarrow X^*$ .

Решение задачи в пространстве  $R^m$  состоит в отыскании способов отображения среды  $R^n \rightarrow R^m$  и вычислении коэффициентов  $\langle \Psi_1, \Psi_2, \dots, \Psi_{\ell}, \dots, \Psi_m, H \rangle$ , удовлетворяющих критерию  $\min \Phi^*$ .

Назовем совокупность возможных математических методов для построения ПФ в виде ЦФ  $Z_2(X)$ , построенных в соответствии с основными положениями п. I, А-автоматом.

## II. Поведение А-автомата в дискретной среде $R^n$

В соответствии с гипотезой п. I, А-автомат необходимо "заставить" выделять наиболее информативные элементы в исходной среде  $R^n$ . Кроме того, А-автомат должен формировать управляющие воздействия на среду по мере вычисления решающего правила. Такую стратегию поведения А-автомата назовем активной. В [5] рассмотрена математическая модель, которая хорошо иллюстрирует стратегию активного поведения А-автомата.

Представим активную стратегию взаимодействия А-автомата со средой в виде блок-схемы рис. I. Задана исходная среда  $X_{\lambda} \in L$  и  $L \subseteq R^n$  на блоке I. Блок II есть программная модель ЦВМ, результатом работы которой служит оценка ЦФ  $Z_2(X)$ . В блоке селекции решений III производится выделение значений ЦФ  $Z'_2(X)$  относительно заданного избыточно критического значения  $Z_{\text{кр}}(X)$ . Значение  $Z_{\text{кр}}(X)$  предполагается известным заранее. Изучение

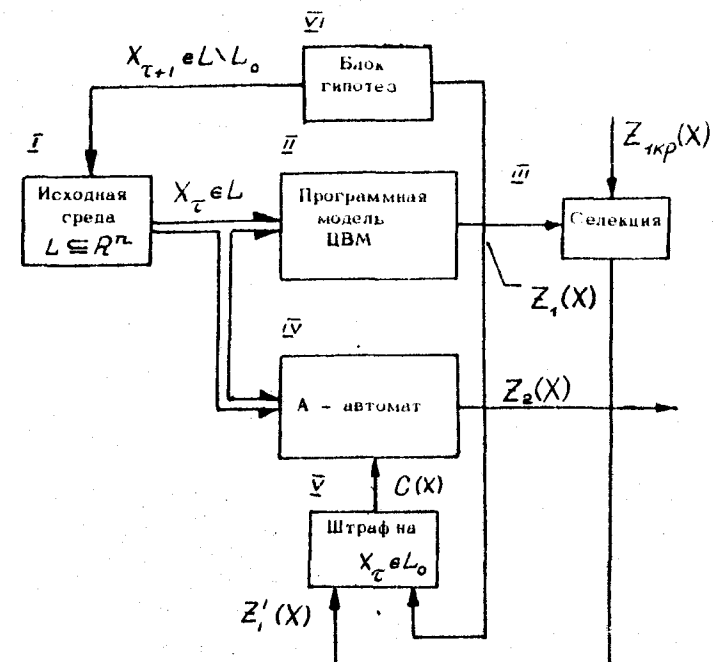


Рис. I. Блок-схема взаимодействия А-автомата со средой.

стратегии последовательного уточнения  $Z_{\text{кр}}(X)$  не является предметом настоящей статьи. Блок IV есть, собственно, А-автомат, на выходе которого формируется решение  $Z_2(X)$ . Решение  $Z_2(X)$  вычисляется только на основании штрафов  $C(X_t) = f[Z'_2(X_t), Z_2(X_t)]$ . Штрафы С формируются в блоке V всякий раз, когда  $I\{Z'_2(X_t)\} \neq I\{Z_2(X_t)\}$ . В блоке VI производится выработка гипотезы — какой вектор целесообразно выбирать из среды? Допустим А-автомат уже отработал решение на подмножестве векторов  $X_t \in L_o$ . Тогда выработка очередной гипотезы  $X_{t+1} \in L \setminus L_o$ . Блоком VI производится на подмножестве  $X_{t+1} \in L \setminus L_o$ .

Активность в работе А-автомата достигается с помощью контура положительной обратной связи: выход А-автомата — блок выработки гипотез VI — исходная среда I. Поскольку поведение А-автомата и так активное ("агрессивное"), то ее может только штрафоваться. Поощрение А-автомата не допускается. Работа А-ав-

томата заканчивается, когда величина штрафов принимает нулевое значение  $C(X_\tau) = f[Z'(X_\tau), Z_2(X_\tau)] = 0$  для всех  $X_\tau \in L$ .

В основу построения теории поведения А-автомата положены некоторые эвристические принципы, сходные с теми, которыми руководствуется специалист в данной предметной области на пути повышения своей квалификации. Действительно, для человека, который занимается систематизацией (прогнозированием) объектов по какому-либо критерию качества ( $\Psi$ ), наибольший интерес представляют именно те объекты, которые менее всего "похожи" на своих предшественников  $X_\tau \in L$ , из данного класса. Иначе говоря, в таких условиях для человека наибольший интерес представляют "атипичные" ситуации.

Реализация этого принципа позволила приблизиться к решению вопроса о выделении граничного и опорного подмножеств [5]. В нашем случае диалектический принцип конкретности перехода от бесконечного к конечному еще более конкретизируется: известный принцип выделения существенных признаков усиливается принципом выделения наиболее существенных элементов в исходном пространстве. Для нас этот принцип весьма важен, ибо его применение позволяет проводить сокращения числа экспериментов.

В работе [4] предложен алгоритм поведения А-автомата: "релаксационный алгоритм" (РА). РА осуществляет вычисление весовых коэффициентов (ВК)  $\xi_i$  и порога  $\gamma$  ЦФ  $Z_2(X)$  (9) по критерию  $\min \Psi$ . Общая процедура вычисления величин ВК мало чем отличается от известных процедур целочисленного линейного программирования. РА также предусматривает определение целочисленного значения порога и выработку очередной гипотезы. Выработка РА гипотез осуществляется с помощью специальной процедуры динамического упорядочивания элементов  $X_\tau \in L$ . Процедура динамического упорядочивания основана на формировании матрицы бинарных отношений между элементами того или иного подмножества:  $t_i \in T, t_g \in F$ .

Например:

$$S(T) = \|S_{ig}\|, \quad (16)$$

$$\text{где } S_{ig} = t_i \cdot t_g \quad (i=1, p), \quad (g=1, p). \quad (17)$$

Матрица (16) вычисляется для всех таких  $t_i$  и  $t_g$ , для которых величина штрафа  $C(t_i) \neq 0$  и  $C(t_g) \neq 0$ . Для следа и первой диагонали, параллельной следу матрицы (16), выполняются следую-

\*). Нетрудно заметить, что по окончании работы А-автомата имеет место такое:  $C(X_\lambda) = 0$  для всех  $X_\lambda \in L$ .

щие отношения:

$$S_{ii} < S_{gg}, \quad (18)$$

$$S_{ii-1} < S_{gg-1}, \quad (19)$$

для всех  $g = (i+1), p$ .

Элементы матрицы (16) обладают свойствами симметрии, транзитивности, коммутативности. В настоящее время сходимость РА теоретически обоснована полностью. Процедура динамического упорядочивания по (16) - (19) следует из условий обеспечения монотонной сходимости величин приращений ВК  $\Delta \xi$  и порога  $\Delta \gamma$ . Заметим, что РА не является единственным возможным алгоритмом организации локальной стратегии А-автомата по критерию  $\min \Psi$ .

### III. Переходы А-автомата из среды $R^n$ в среду $R^m$

Если в результате применения РА окажется, что  $\min \Psi > 0$ , то производится дальнейшее усовершенствование решающего правила. Может быть предложена блок-схема получения точного решения (рис. 2). Общая организация А-автомата осуществляется ведущим

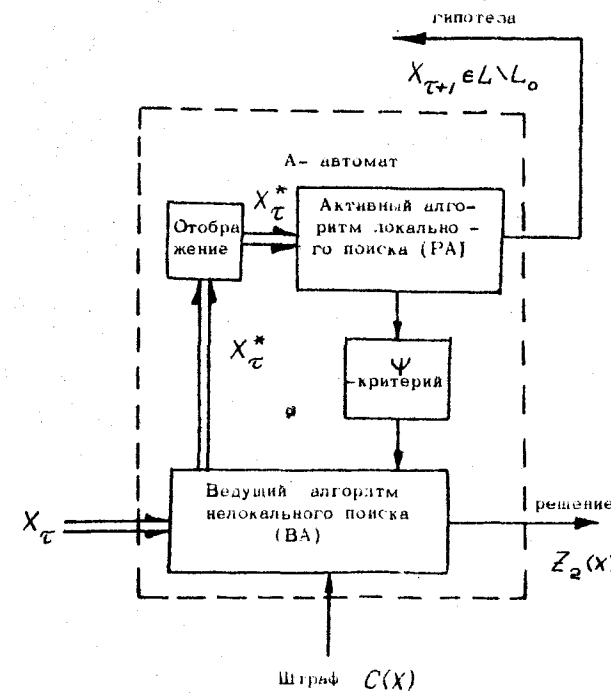


Рис.2. Блок-схема организации переходов А-автомата из среды  $R^n$  в среду  $R^m$ .

алгоритмом (ВА).

ВА производит обращение к алгоритму локального поиска решения (РА). Если  $\min \psi > 0$ , то ВА производит отображение исходной среды:  $R^n \rightarrow R^m$ . Возможны два способа аппроксимации решающего правила (ПФ): 1<sup>0</sup> - кусочно-линейная аппроксимация; 2<sup>0</sup> - аппроксимация полиномом сколь угодно высокого порядка. Способ 2<sup>0</sup> более совершенен с точки зрения изучения интерполяционных и экстраполяционных свойств ПФ. Способ 1<sup>0</sup> более экономичен с точки зрения объема вычислений. С помощью способа 2<sup>0</sup> получается более компактная математическая модель по сравнению с 1<sup>0</sup> способом.

Рассмотрим организацию ВА по 2<sup>0</sup> способу. В этом случае разложение  $Z_2(X)$  представляется в полиномиальной форме, сходной по конструкции с разложением Жегалкина. В нашем случае полином имеет не логическую, а алгебраическую конструкцию. Каждую координату определим по правилу:

$$y_\ell = \begin{cases} x_r, & r = \overline{1, n} \\ x_r \cdot x_\alpha, & r = \overline{1, n} \\ & \alpha = \overline{1, n} \\ & r \neq \alpha \\ x_r \cdot x_\alpha \cdot x_\beta, & r = \overline{1, n} \\ & \alpha = \overline{1, n} \\ & \beta = \overline{1, n} \\ & r \neq \alpha \\ & \beta \neq \alpha \\ & r \neq \beta \\ \vdots & \\ \prod_{r=1}^n x_r & \end{cases} \quad (20)$$

В общем виде искомое разложение можно представить:

$$\begin{aligned} Z_2(X) &= \sum_\ell \psi_\ell \cdot y_\ell - H = \\ &= \sum_n \xi_n \cdot x_n + \sum_n \sum_\alpha \xi_{n\alpha} x_n \cdot x_\alpha + \\ &\quad + \sum_n \sum_\alpha \sum_\beta \xi_{n\alpha\beta} x_n \cdot x_\alpha \cdot x_\beta + \dots + \xi_{1,2,\dots,n,n} \prod x_r. \end{aligned} \quad (21)$$

Определим ВА с помощью операторной схемы:

$$VA := \downarrow PA, [T] A_2[j] A_3[j, \ell] F_4[y_\ell]$$

$$\begin{aligned} PA_5[F] & A_6[i] F_7 (\psi \neq 0) \downarrow A_8[i, \ell] \\ F_9[y_\ell] & \downarrow \downarrow Y_{10} \quad (\text{конец}). \end{aligned} \quad (22)$$

Оператора  $A_2[j]$  определяет

$$\max Z_2(f_j^*) = Z_2(f_j^*), \quad (23)$$

среди  $f_j^* \in F$ , таких, что  $\operatorname{sign} Z_2(f_j^*) = 1$ ;

Оператор  $A_6[i]$  определяет

$$\max_{t_i} Z_2(t_i^*) = Z_2(t_i^*) \quad (24)$$

среди  $t_i^* \in T$  таких, что  $\operatorname{sign} Z_2(t_i^*) = 0$ ;

Оператор  $A_3[j, \ell]$  фиксирует два таких индекса

$$\mu = \overline{1, m} \text{ и } \nu = \overline{1, m}, \text{ что:}$$

$$\psi_\mu = \max_\ell \psi_\ell \cdot f_{\ell\mu}^*$$

$$\psi_\nu \cdot f_{\nu\mu}^* \leq \psi_\mu;$$

Оператор  $A_8[i, \ell]$  фиксирует два индекса

$$\mu = \overline{1, m} \text{ и } \nu = \overline{1, m} \text{ по правилу:}$$

$$\psi_\mu = \max_\ell \psi_\ell \cdot t_{\ell\mu}^*$$

$$\psi_\nu \cdot t_{\nu\mu}^* \leq \psi_\mu;$$

Операторы  $A_2[j]$  и  $A_6[i]$  определяют те ситуации, которые дают наиболее неверный ответ.

Операторы  $A_3[j, \ell]$  и  $A_8[i, \ell]$  фиксируют в первую очередь те координаты, из-за которых получен неверный ответ.

Операторы  $F_4[y_\ell]$  и  $F_9[y_\ell]$  вводят в пространство  $R^m$  новые координаты  $y_\ell := y_s \cdot y_t$ . Как только введены новые координаты, ВА обращается к алгоритму локального поиска, который проводит вычисления в скорректированном пространстве. Таким образом, по мере работы А-автомата, ВА пытается на каждом шаге минимизировать ошибку и как можно скорее получить решение. Такой способ построения отображения  $R^n \rightarrow R^m$  также является активным.

#### IV. Примеры вычисления ПФ ЦВМ А-автоматом

Рассмотрим применение предложенной методики на простых, но наглядных примерах [6, 7].

**I. Пример.** Построить ПФ на основе статистического материала, полученного при моделировании виртуальной памяти ЦВМ

"Стретч" [6]. Задано: 4 устройства основной памяти с циклом обращения 2,0 мкsec; 2 блока быстродействующей памяти с циклом обращения 0,6 мкsec. Схема характеризуется следующими параметрами:

- числом блоков виртуальной памяти  $N$ ;
- реализуемым на ЦВМ алгоритмом переработки информации: методом сеток (МС) и методом Монте-Карло (МК);
- временем  $\tau_{ay}$  и  $\tau_{nay}$ .

Исследуется относительная скорость выполнения команд  $Z_i = \vartheta$ . На рис. 3 приведен график семейства зависимостей  $\vartheta(N)$ , который заимствован из [6].

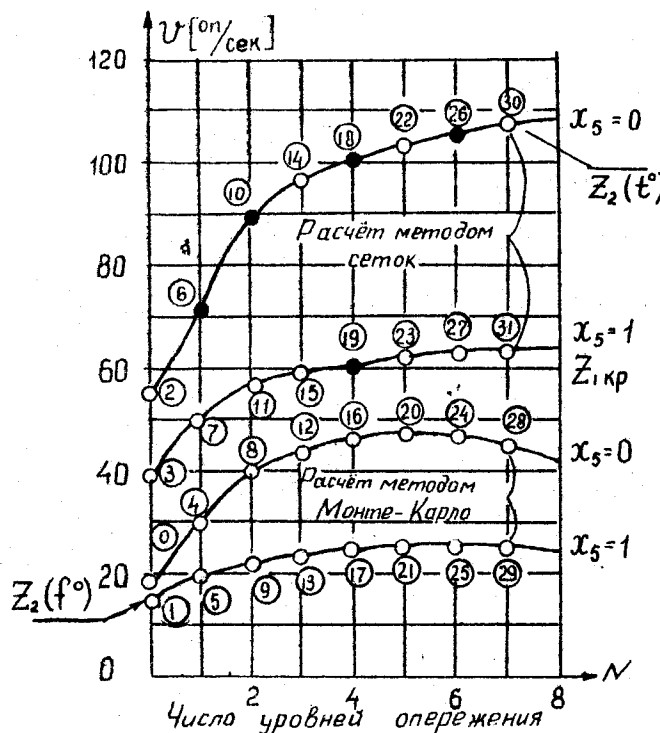


Рис. 3. Результаты экспериментов на программной модели, полученных при исследовании эффективности введения виртуальной памяти ЦВМ "Стретч" по [6].

Проведем кодировку:

$$N = x_1 x_2 x_3; x_4 = \begin{cases} 1, & \text{если } MC \\ 0, & \text{если MK} \end{cases}; x_5 = \begin{cases} 1, & \text{при } \tau_{ay} = 1,28, \tau_{nay} = 1,4 \\ 0, & \text{при } \tau_{ay} = 0,64, \tau_{nay} = 0,6 \end{cases}$$

В соответствии с принятым способом кодировки, каждой экспериментальной точке на графике рис. 3 присвоим число  $\sum_n 2^{n-1} \cdot x_n$ , которое соответствует номеру вершины в пятимерном гиперкубе. Зададимся  $Z_{ikp} = \vartheta_{kp} = 60$  т.оп/сек. Тогда весь статистический материал распределяется на два подмножества:  $t_i \in T(p=H)$  и  $f_j \in F(q=21)$ .

Применим РА в соответствии с [4] и получаем цепочку порождения гипотез А-автоматом (рис. 4). В результате применения РА

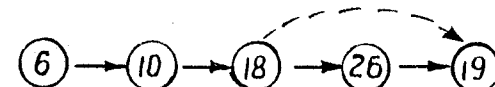


Рис. 4. Цепочка порождения гипотез А-автоматом при исследовании ЦВМ "Стретч".

получена при  $\Psi = 0$  линейная математическая модель ПФ:

$$Z_2(X) = 3x_1 + x_2 + x_3 + 8x_4 - 2x_5 - 9. \quad (27)$$

Нетрудно видеть, что задача решена в смысле условия сегментации (8), а также в смысле (10), т.е.

$$\max_t Z_2(t_i) = Z_2(t_{(3)}) \quad \max_x Z_i(t_i) = Z_i(t_{(3)}) \quad (28)$$

$$\min_j Z_2(f_j) = Z_2(f_{(0)}) \quad \min_x Z_i(f_j) = Z_i(f_{(0)}) \quad (29)$$

Наибольший вклад в изменение значения ЦФ  $Z_i(x) = \vartheta$  вносит переменная  $x_4$ , отражающая вариацию алгоритма реализации. А-автомат построил ПФ при реализации штрафа на пяти ситуациях (рис. 4), что составляет лишь 15,6% от общего объема представленной информации.

2. Пример. Построить ПФ по результатам исследования последовательности команд на реальных программах японской ЦВМ "Бенди克斯-15D" [7].

В качестве ЦФ  $Z_i(x)$  рассматривается вероятность перехода от одной группы команд к другой —  $P_{y\delta}$ .

Определены следующие группы команд:

1. остальные;
2. арифметические;
3. передачи управления;
4. ввода;
5. вывода;
6. индекса;
7. специальные.

(30)

и задана следующая таблица I:

Таблица I

Вероятность переходов  $P_{\gamma\delta}$  от одной группы команд к другой ЦВМ "Бендикс-15Д" по [7]

$\gamma \backslash \delta$	I	2	3	4	5	6	7
I	9,52	33,3	-	4,8	-	19,0	33,3
2	0,01	86,2	5,2	0,3	2,9	2,5	30,2
3	-	7,5	6,6	-	9,5	6,8	4,61
4	-	9,43	0,34	80,8	3,4	3,7	2,37
5	-	37,1	5,2	1,35	41,7	9,8	4,83
6	0,11	23,1	1,1	1,54	3,31	64,4	6,39
7	6,71	57,9	0,52	1,55	9,01	6,7	17,8

Примем  $Z_{kp} = P_{\gamma\delta} = 17\%$ . Тогда исходный статистический материал разбивается на  $t_i \in T$  ( $p=12$ ) и  $f_j \in F$  ( $q=31$ ) ситуаций. Предварительно заметим, что представление носит чисто дискретный характер.

Закодируем ситуации таким образом, чтобы было возможно оценить вклад каждой из групп команд. Примем позиционную систему счисления такую, что:

наличие единиц в коде  $x_1, x_2, \dots, x_7$  однозначно соответствует позициям в (30), а бинарные отношения  $x_8, x_9$  задают порядок выборки информации из таблицы I (см. таблицу 2).

Применение А-автомата позволило решить задачу сегментации. Решение имеет вид:

$$\begin{aligned} Z_e(X) = & \text{sign}(3x_1 + 3x_2 - 6x_3 - 7x_4 - 6x_5 - 6x_6 - \\ & - 6x_7 + 4x_8 + 4x_9 - x_2 x_8 - 2x_3 x_8 - 10x_7 x_9 - 1). \quad (31) \end{aligned}$$

Таблица 2  
Определение бинарных отношений  $x_8, x_9$  выборки информации

$x_8$	$x_9$	
I	0	$\gamma < \delta$
0	I	$\gamma > \delta$
I	I	$\gamma = \delta$

экспериментов и вычислений по сравнению с классическими методами обработки статистики (многомерный корреляционный и регрессионный анализ).

2<sup>o</sup>. Чем в большей степени имеет место  $\xi_{max} \rightarrow \infty$  и  $p+q \rightarrow 2$ , тем точнее решение задачи идентификации. При этом имеет место эффект вырождения частично упорядоченного множества значений ЦФ  $Z_e(x_\lambda)$  в абсолютно упорядоченное множество.

3<sup>o</sup>. Предложенная методика более эффективна, нежели известные методы теории обучения автоматов распознаванию образов, так как позволяет выделять наиболее "характерные" представители в обучающей последовательности [5]. Рассмотренный принцип обучения А-автомата может быть интерпретирован на уровне самообучения по входам.

4<sup>o</sup>. Предложенная стратегия поведения А-автомата может быть обобщена на случай "самопроизвольной" корректировки  $Z_{kp}(X)$  — самообучение А-автомата по выходу.

5<sup>o</sup>. Предложенная стратегия поведения А-автомата может быть обобщена на случай задания нестационарной среды  $R^n$ . Под нестационарностью среды  $R^n$  понимается переключение каждого из параметров  $x_{\lambda r} \in \{0,1\}$  в дискретные моменты времени

$$\tau_0, \dots, \tau_k, \dots, \tau_{d-1}$$

6<sup>o</sup>. А-автомат сравнительно просто поддается алгоритмизации. Так, например, программная реализация А-автомата, которая была поставлена на ЦВМ "Минск-22", занимает порядка 1000 ячеек памяти МУЗУ.

Видим, что наибольшее влияние на уменьшение степени зацепленности команд в ЦВМ вносит переменная  $x_4$  — "ввод".

В заключение можно сделать следующие выводы:

1<sup>o</sup>. С ростом размерности исходной среды предложенная методика в большей степени эффективна, так как резко позволяет сократить объем необходимых экспериментов и вычислений по сравнению с классическими методами обработки статистики (многомерный корреляционный и регрессионный анализ).

Л и т е р а т у р а

1. А.К. ПОЛЯКОВ. Некоторые особенности учета временных соотношений в программных моделях. - Доклады научно-технической конференции по итогам НИР. Подсекция вычислительной техники. М., МЭИ, 1967 г. 22-29.
2. А.К. ПОЛЯКОВ. Система автоматизации моделирования ЦВМ. Сб. "Цифровая вычислительная техника и программирование" под ред. А.И. Китова. Вып. 4. М., "Советское радио", 1968 г.
3. Е.И. ГУРВИЧ, А.М. ЕНГАЛЬЧЕВ, И.Я. МАТЮХИН. Язык МОДИС для моделирования цифровых автоматов на этапе функционального синтеза. - Тезисы докладов конференции "Теория автоматов и искусственное мышление". М., ВЦ АН СССР, 1968 г.
4. И.И. ДЗЕГЕЛЕНОК. Релаксационный алгоритм нахождения порогового отделителя в  $n$ -мерном единичном кубе. Доклады научно-технической конференции по итогам НИР. Сб. "Теория дискретных систем". М., МЭИ, 1967 г.
5. И.И. ДЗЕГЕЛЕНОК, М. РУСИНКЕВИЧ, А.Г. ШИГИН. Активные алгоритмы обучения автоматов распознаванию образов. - Тезисы докладов конференции "Теория автоматов и искусственное мышление". М., ВЦ АН СССР, 1968 г.
6. В.С. БАЛЛАНС, Дж. КОК, Х.Г. КОЛСКИЙ. Опережающее устройство. В кн. "Проектирование сверхбыстро действующих систем. Комплекс СТРЕГ". Под ред. В.Бухгольца. М., Мир, 1965 г.
7. Е. ЦУБОИ, Т. КИМУРА. Частота команд, используемых в одноАдресной вычислительной машине. Мицубиси дэнкитихо. т.37, № 4, 1963 г. Пер. ВИНИТИ № 43355/4.

Поступила в редакцию  
19.VII.1969 г.